

TREINAMENTO DE UMA REDE PERCEPTRON DE MÚTIPLAS CAMADAS UTILIZANDO *ENHANCED-CONTINUOUS-GRASP*

Tiago Maritan Ugulino de Araújo¹, Jefferson Ferreira de Araújo Lima¹, Lucídio dos Anjos Formiga Cabral¹, Guido Lemos de Souza Filho¹ e Adrião Duarte Dória Neto²

¹Laboratório de Aplicações em Vídeo Digital, Departamento de Informática, Universidade Federal da Paraíba, Cidade Universitária, CEP 58050-900, João Pessoa, Paraíba

²Departamento de Computação e Automação, Universidade Federal do Rio Grande do Norte, Lagoa Nova, CEP 59072-970, Natal, Rio Grande do Norte

maritan@lavid.ufpb.br; jefferson@lavid.ufpb.br; lucidiocabral@gmail.com; guido@lavid.ufpb.br; adriao@dca.ufrn.br

Resumo – O treinamento supervisionado de uma rede Perceptron de Múltiplas Camadas (*Multilayer Perceptron* - MLP) [1] baseado nos algoritmos baseados em gradiente, como o algoritmo de retropropagação do erro (*error backpropagation*) [2], geralmente possui algumas limitações como, por exemplo, a possibilidade de ficar preso em mínimos locais e a elevada complexidade computacional quando o número de parâmetros da rede (pesos sinápticos e bias) é grande [3]. Outra alternativa comumente explorada para o treinamento de MLP é a utilização de metaheurísticas para otimização combinatória, como Algoritmos Genéticos [4] e Busca Tabu [5]. Segundo Sexton e Guppa [6], contudo, essas abordagens são baseadas num esquema de codificação binária dos parâmetros da rede e não trazem necessariamente nenhum benefício. Para contornar esses problemas, nesse artigo propomos a utilização da metaheurística *Enhanced Continuous-GRASP* (EC-GRASP) [7,8], uma metaheurística para resolução de problemas de otimização global contínua, para o treinamento de uma rede MLP. Para validar o método proposto, a rede MLP foi treinada para aproximação de algumas funções não-lineares. Os resultados computacionais atestam a aplicabilidade da nova abordagem proposta.

Palavras-chave – Perceptron de Múltiplas Camadas, Treinamento Supervisionado, EC-GRASP, Metaheurísticas, Otimização Global Contínua, Redes Neurais Artificiais

1. Introdução

O treinamento supervisionado de uma rede Perceptron de Múltiplas Camadas (*Multilayer Perceptron* - MLP) [1], em geral, procura encontrar os valores dos parâmetros da rede (pesos sinápticos e bias) que minimizam o erro médio quadrático (E_{med}) associado a um conjunto de amostras de treinamento. O problema então pode ser visualizado como um problema de otimização irrestrito, definido matematicamente da seguinte forma:

$$\min E_{med}, \text{ onde} \quad (1)$$

$$E_{med} = \frac{1}{2N} \sum_{n=1}^N [d(n) - o(n, \mathbf{w})]^2 \quad (2)$$

Nesse contexto, E_{med} representa a *função de custo*, ou seja, a média dos erros quadráticos associados ao conjunto de N amostras de treinamento. O erro quadrático de cada amostra de treinamento n é definido como a diferença entre a resposta desejada (ou saída alvo) $d(n)$ e a resposta real da rede ao padrão de treinamento $o(n, \mathbf{w})$. A resposta da rede $o(n, \mathbf{w})$ é determinada com base na amostra de treinamento n e nos parâmetros da rede \mathbf{w} .

Por serem métodos de busca exatos, os algoritmos baseados em gradiente para o treinamento de um MLP, como o algoritmo de retropropagação do erro (*error backpropagation*) [2], geralmente possuem algumas limitações como a possibilidade de ficar preso em mínimos locais e o crescimento exponencial da complexidade computacional na medida em que o número de parâmetros da rede (número de sinapses) aumenta [3]. Outra alternativa comumente explorada para o treinamento de MLP é a utilização de metaheurísticas para otimização combinatória, como, por exemplo, Algoritmos Genéticos [4] ou Busca

Tabu [5]. Segundo Sexton e Gupta [6], contudo, essas abordagens são baseadas num esquema de codificação binária dos parâmetros da rede e não trazem necessariamente nenhum benefício.

Para contornar esses problemas, nesse artigo, propomos a utilização do *Enhanced Continuous-GRASP* (EC-GRASP) [7,8], uma metaheurística projetada para resolução de problemas de otimização global contínua, para o treinamento de uma rede MLP. O EC-GRASP, uma adaptação da metaheurística *Greedy Randomized Adaptive Search Procedure* (GRASP) [9] para resolução de problemas de otimização global contínua, é um algoritmo simples de implementar, não utiliza derivadas da função objetivo e tem a capacidade de escapar de mínimos locais [8].

Esse artigo está organizado da seguinte forma. Na seção 2 descrevemos a metaheurística EC-GRASP. Na seção 3 apresentaremos como o EC-GRASP foi aplicado ao treinamento de uma rede MLP. Na seção 4 apresentamos os experimentos computacionais utilizados para validar o método proposto. Por fim, as conclusões são apresentadas na seção 5.

2. *Enhanced Continuous-GRASP* (EC-GRASP)

O EC-GRASP, uma evolução da metaheurística *Continuous-GRASP* (C-GRASP) [10, 11], foi uma alternativa proposta por [8] para resolução de problemas de otimização global contínua sujeito a restrições no domínio do problema (*box constraints*). Sem perda de generalidade, define-se o domínio S como sendo um hiper-retângulo $S = \{\mathbf{x} \in \mathfrak{R}^n \mid \mathbf{l} \leq \mathbf{x} \leq \mathbf{u}\}$, onde $\mathbf{l} \in \mathfrak{R}^n$, $\mathbf{u} \in \mathfrak{R}^n$ e $u_i \geq l_i$, para $i = 1, 2, \dots, n$. O problema considerado, portanto, é:

$$\begin{aligned} \min f(\mathbf{x}), & \quad (3) \\ \text{sujeito a } \mathbf{l} \leq \mathbf{x} \leq \mathbf{u}, & \quad (4) \end{aligned}$$

Onde $f : \mathfrak{R}^n \rightarrow \mathfrak{R}$ e $\mathbf{l}, \mathbf{x}, \mathbf{u} \in \mathfrak{R}^n$.

De forma similar ao C-GRASP [11], o EC-GRASP é um método de busca *multi-start*¹ que utiliza uma fase de construção aleatória e gulosa² para gerar as soluções iniciais e uma fase de busca local para tentar melhorar as soluções geradas pelo procedimento de construção. O EC-GRASP discretiza o domínio do problema em uma grade de pontos uniformemente distribuídos. Os procedimentos de construção e busca local realizam seus movimentos através dessa grade de pontos e, à medida que o algoritmo progride, essa grade vai adaptativamente se tornando mais densa. Na Figura 1 é apresentado o pseudocódigo do método EC-GRASP.

De acordo com a Figura 1, observa-se que o EC-GRASP possui como parâmetros de entrada: a dimensão do problema n ; os vetores \mathbf{l} e \mathbf{u} que representam os limites inferiores e superiores do domínio de entrada, respectivamente; a função objetivo $f(\cdot)$; e os parâmetros h_s , h_e e MaxLocalIters . Os parâmetros h_s e h_e representam a densidade inicial e final da grade de discretização, respectivamente, e MaxLocalIters representa o número máximo de iterações sem melhoria que devem ser aplicadas durante o procedimento de busca local.

O algoritmo processa as iterações enquanto algum critério de parada não é satisfeito. Em cada iteração, inicialmente, um ponto aleatório uniformemente distribuído sobre os limites \mathbf{l} e \mathbf{u} é atribuído a solução atual \mathbf{x} e o parâmetro h , que representa o tamanho atual do passo de discretização, é atualizado para o valor h_s . Em seguida, os procedimentos de construção e busca local são chamados seqüencialmente, em ciclo, partindo da solução atual \mathbf{x} . Se o ciclo de construção-busca local não conseguir gerar uma solução melhor que a solução de entrada \mathbf{x} (ou seja, as variáveis de estado ImprC e ImprL estão no estado **false**), o EC-GRASP aumenta a densidade da grade de discretização atual, reduzindo o valor de h (i.e., $h \leftarrow h/2$). Uma iteração do EC-GRASP termina quando $h < h_e$. A melhor solução visitada em todas as iterações do algoritmo (\mathbf{x}^*) é retornada pelo algoritmo.

O EC-GRASP utiliza o mesmo procedimento de construção (Construção) do C-GRASP (definido em [11]) e define um novo procedimento de busca local, o procedimento `BuscaLocal_NAPS`. Esse

¹ Um procedimento *multi-start* é um procedimento iterativo que utiliza vários pontos de partida gerados de forma aleatória. Essa característica permite que o procedimento diversifique a busca no espaço de soluções, escapando de ótimos locais

² “Um algoritmo guloso é aquele que faz a escolha que parece melhor no momento. Isto é, ele faz uma escolha ótima para as condições locais, na esperança de que essa escolha leve a uma solução ótima para a situação global” [13]

procedimento é baseado no método *New Adaptive Pattern Search* (NAPS), um método de busca direcionada. O papel do NAPS é estabilizar a busca na vizinhança do mínimo local. Mais especificamente, ao invés de realizar movimentos aleatórios na vizinhança, uma estratégia de busca direcionada é responsável por gerar esses movimentos.

```

procedure EC-GRASP( $n, \mathbf{l}, \mathbf{u}, f(\cdot), h_s, h_e, \text{MaxLocalIters}$ )
1.   $f^* \leftarrow \infty$ ;
2.  while Critério de parada não satisfeito do
3.     $\bar{x} \leftarrow \text{UnifRand}(\vec{l}, \vec{u})$ ;
4.     $h \leftarrow h_s$ ;
5.    while  $h < h_e$  do
6.      ImprC  $\leftarrow$  false;
7.      ImprL  $\leftarrow$  false;
8.       $[\bar{x}, \text{ImprC}] \leftarrow \text{Construcao}(\bar{x}, f(\cdot), n, \vec{l}, \vec{u}, \text{ImprC})$ 
9.       $[\bar{x}, \text{ImprL}] \leftarrow \text{BuscaLocalNAPS}(\bar{x}, f(\cdot), n, h, h_e, \vec{l}, \vec{u}, \text{MaxLocalIters}, \text{ImprL})$ ;
10.     if  $f(\bar{x}) < f^*$  then
11.        $\vec{x}^* \leftarrow \bar{x}$ ;
12.        $f^* \leftarrow f(\bar{x})$ ;
13.     end if
14.     if ImprC = false and ImprL = false then
15.        $h \leftarrow h/2$ ;
16.     end if
17.   end while
18. end while
19. return  $\vec{x}^*$ ;
end EC-GRASP.

```

Figura 1 – Pseudocódigo do método EC-GRASP.

2.1. Procedimento de Construção

O procedimento de construção Construção do EC-GRASP é o mesmo procedimento utilizado pelo C-GRASP. Ele inicia permitindo que todas as coordenadas da solução de entrada \mathbf{x} possam ser alteradas, criando um conjunto de coordenadas denominadas coordenadas não-fixas (Unfixed). A cada iteração, é efetuada uma busca linear na direção de cada coordenada não-fixa de \mathbf{x} com as outras $(n-1)$ coordenadas mantidas com os seus valores atuais. Uma Lista de Candidatos Restrita (*Restricted Candidate List* - RCL) com tamanho determinado por $\alpha \in [0,1]$ é criada apenas com as coordenadas não-fixas. Um elemento da RCL é então escolhido aleatoriamente e essa coordenada é retirada do conjunto de coordenadas não-fixas. O procedimento é repetido até que o conjunto de coordenadas não-fixas esteja vazio. O pseudocódigo do procedimento Construção é apresentado na Figura 2.

2.2. Método *New Adaptive Pattern Search* (NAPS)

O método *New Adaptive Pattern Search* (NAPS) é um método baseado no método *Adaptive Pattern Search* (APS) proposto em [12]. Ele é um procedimento livre de derivadas com uma grande habilidade de gerar direções de descida utilizando soluções ao redor da solução atual. Mais especificamente, o NAPS constrói n direções paralelas aos eixos coordenados, partindo de uma solução atual \mathbf{x} , e gera um conjunto $T = \{\mathbf{y}\}_{i=1}^n$ de n pontos ao longo dessas direções com um tamanho de passo h . A direção adaptativa \mathbf{d} é calculada da seguinte forma:

$$\mathbf{d} = \sum_{i=1}^n \omega_i \mathbf{u}_i, \text{ onde,} \quad (5)$$

$$\omega_i = \frac{\Delta f_i}{\sum_{j=1}^n |\Delta f_j|}, \quad i=1,2,\dots,n, \quad (6)$$

$$\mathbf{u}_i = -\frac{(\mathbf{y}_i - \mathbf{x})}{\|(\mathbf{y}_i - \mathbf{x})\|}, \quad i=1,2,\dots,n, \quad (7)$$

$$\Delta f_i = f(y_i) - f(x), \quad i=1,2,\dots,n \quad (8)$$

Após calcular a direção de descida, aplica-se uma busca linear nessa direção (a direção \mathbf{d}). A solução retornada pela busca linear \mathbf{y}_{n+1} é então adicionada ao conjunto T e o melhor ponto de T é retornado pelo método NAPS. O pseudocódigo do procedimento NAPS é apresentado na Figura 3.

```

procedure Construção( $\bar{x}, f(\cdot), n, \bar{l}, \bar{u}, \text{ImprC}$ )
1.  Unfixed = {1, 2, ..., n};
2.   $\alpha \leftarrow \text{UnifRand}(0, 1)$ ;
3.  ReUse  $\leftarrow$  false;
4.  while Unfixed  $\neq \emptyset$  do;
5.       $g_{min} = +\infty; g_{max} = -\infty$ ;
6.      for each  $i \in \text{Unfixed}$  do
7.          if ReUse = false then
;8.               $z_i \leftarrow \text{LinearSearch}(\bar{x}, f(\cdot), h, i, n, \bar{l}, \bar{u})$ ;
;9.               $g_i \leftarrow f(\hat{x}^i)$ ;
10.         end if
11.         if  $g_{min} > g_i$  then  $g_{min} \leftarrow g_i$ ;
12.         if  $g_{max} < g_i$  then  $g_{max} \leftarrow g_i$ ;
13.     end for
14.     RCL  $\leftarrow \emptyset$ ;
15.     Threshold  $\leftarrow g_{min} + \alpha(g_{max} - g_{min})$ ;
16.     for each  $i \in \text{Unfixed}$  and  $g_i \leq \text{Threshold}$  do
17.         RCL  $\leftarrow \text{RCL} \cup i$ ;
18.     end for
19.      $j \leftarrow \text{RandomSelectElement}(\text{RCL})$ ;
20.     if  $x_j = z_j$  then ReUse  $\leftarrow$  true;
21.     else
22.          $x_j \leftarrow z_j$ ;
23.         ReUse  $\leftarrow$  false;
24.         ImprL  $\leftarrow$  true;
25.     end if
26.     Unfixed  $\leftarrow \text{Unfixed} \setminus \{j\}$ ;
27. end while
28. return [ $\bar{x}, \text{ImprC}$ ];
end Construction

```

Figura 2 – Pseudocódigo do procedimento de construção do EC-GRASP.

2.2. Procedimento de Busca Local

O procedimento de busca local do EC-GRASP (BuscaLocal_NAPS) é um método iterativo de busca local que não utiliza cálculos de derivada e explora a vizinhança da solução atual aceitando apenas soluções melhores que ela. A vizinhança do procedimento de busca local é baseada no método NAPS

(descrito na seção 2.2) e na vizinhança $B_h(\mathbf{x}^*)$, definida em [11]. O procedimento BuscaLocal_NAPS, em cada iteração, calcula uma direção de descida aproximada \mathbf{d} , a partir da solução atual \mathbf{x} e realiza uma busca linear nessa direção (procedimento NAPS). Se a solução retornada pelo NAPS não for melhor que a solução \mathbf{x}^* (a melhor solução visitada até o momento), o procedimento BuscaLocal_NAPS atualiza a solução corrente \mathbf{x} com uma solução escolhida aleatoriamente do conjunto $B_h(\mathbf{x}^*)$. O procedimento termina quando um determinado número de tentativas sem melhorias, na solução \mathbf{x}^* , é extrapolado. Quando isso acontece, o procedimento retorna a solução \mathbf{x}^* . O pseudocódigo do procedimento BuscaLocal_NAPS é apresentado na Figura 4.

```

procedure NAPS( $\vec{x}, f(\cdot), n, h, h_e$ )
1. Gera o conjunto  $T \leftarrow \{\vec{y}\}_{i=1}^n$  usando  $\vec{x}$  e  $h$ ;
2. for  $i = 1, \dots, n$  do
3.   if  $f(\vec{y}_i) < f(\vec{x})$  then return  $\vec{y}_i$ ;
4. end for
5. Calcula  $d$  usando (5);
6.  $y_{n+1} \leftarrow \text{LinearSearch}(\vec{x}, f(\cdot), d, h, h_e)$ ;
7.  $y_{min} \leftarrow \min(y_1, \dots, y_{n+1})$ ;
8. return  $y_{min}$ ;
end NAPS.

```

Figura 3 – Pseudocódigo do procedimento NAPS.

```

procedure BuscaLocalNAPS ( $\vec{x}, f(\cdot), n, h, h_e, \vec{l}, \vec{u}$ ,
                          MaxLocalIters, ImprL)
1.  $\vec{x}^* \leftarrow \vec{x}$ ;
2.  $f^* \leftarrow f(\vec{x}^*)$ ;
3. NumIters  $\leftarrow 0$ ;
4. while NumIters  $\leq$  MaxLocalIters do
5.   NumIters  $\leftarrow$  NumIters + 1;
6.    $\vec{x} \leftarrow \text{NAPS}(\vec{x}, f(\cdot), n, h, h_e)$ ;
7.   if  $\vec{l} \leq \vec{x} \leq \vec{u}$  and  $f(\vec{x}) < f^*$  then
8.      $\vec{x}^* \leftarrow \vec{x}$ ;
9.      $f^* \leftarrow f(\vec{x})$ ;
10.    ImprL  $\leftarrow$  true;
11.    NumIters  $\leftarrow 0$ ;
12.  else
13.     $\vec{x} \leftarrow \text{RandomlySelectElement}(B_h(\vec{x}^*))$ ;
14.  end if
15. end while
16. return [ $\vec{x}^*$ , ImprL];
end BuscaLocalNAPS.

```

Figura 4 – Pseudocódigo do procedimento de busca local do EC-GRASP.

3. Treinando um MLP com EC-GRASP

Conforme já mencionado na seção 2, para aplicar o EC-GRASP ao treinamento de um MLP, é necessário definir um par de vetores \mathbf{l} e \mathbf{u} que definem o domínio de entrada do problema (ou seja, os valores possíveis dos pesos sinápticos). Esse problema pode ser resolvido definindo vetores \mathbf{l} e \mathbf{u} para

cada problema. Nesse caso, o problema de treinar uma rede MLP com o EC-GRASP pode ser definido da seguinte forma:

$$\min E_{med}, \text{ onde} \quad (9)$$

$$E_{med} = \frac{1}{2N} \sum_{n=1}^N [d(n) - o(n, \mathbf{w})]^2, \quad (10)$$

$$\text{sujeito a } \mathbf{l} \leq \mathbf{x} \leq \mathbf{u}, \quad (11)$$

Onde E_{med} representa o erro médio quadrático sobre todas as N amostras de treinamento; \mathbf{w} representa os parâmetros da rede; $d(n)$ e $o(n, \mathbf{w})$ representam a resposta desejada e a resposta real da rede a amostra de treinamento n , respectivamente; \mathbf{l} e \mathbf{u} representam o domínio de entrada, ou seja, o intervalo de valores que o vetor \mathbf{w} pode assumir.

4. Experimentos Computacionais

Para validar o método proposto, utilizou-se o EC-GRASP para treinar duas redes MLP com o objetivo de aproximar as seguintes funções não-lineares abaixo:

- Função 1: $f(x) = 1/x$, onde $0.1 \leq x \leq 10$
- Função 2: $f(x_1, x_2) = x_1^2 + x_2^2 + 2x_1x_2 + x_1 + x_2 - 1$, onde $-1 \leq \mathbf{x} \leq 1$

Na aproximação das funções 1 e 2 utilizou-se duas redes MLP com arquiteturas (definidas empiricamente) 1:4:1 e 2:4:2:1, respectivamente. Nas duas redes, as camadas ocultas eram formadas por neurônios com função de ativação tangente sigmóide e formadas por neurônios com função de ativação linear na camada de saída. Cada rede foi treinada com um conjunto de treinamento de 500 amostras geradas aleatoriamente no espaço de entrada.

O critério de parada do algoritmo EC-GRASP seria obter um erro médio quadrático inferior a 0.01 ($E_{med} < 0.01$) ou completar 20 iterações *multi-start*. O parâmetro n (dimensão do problema) é o número de parâmetros da rede (pesos sinápticos e bias) de cada rede MLP. Os demais parâmetros utilizados no EC-GRASP são apresentados na Tabela 1.

Tabela 1 – Parâmetros do EC-GRASP

Parâmetro	Valor	Parâmetro	Valor
$f(\cdot)$	E_{med}	h_s	1.0
\mathbf{l}	$[-5, \dots, -5]^n$	h_e	0.1
\mathbf{u}	$[5, \dots, 5]^n$	MaxLocalIters	$2n$

As Figuras 5(a) e 5(b) apresentam as curvas do erro médio quadrático de treinamento das Funções 1 e 2, respectivamente, em relação ao número de ciclos construção-busca local do EC-GRASP. De acordo com essas figuras, podemos observar que em poucos ciclos construção-busca local o EC-GRASP conseguiu convergir, ou seja, encontrar um erro médio quadrático menor que 0.01.

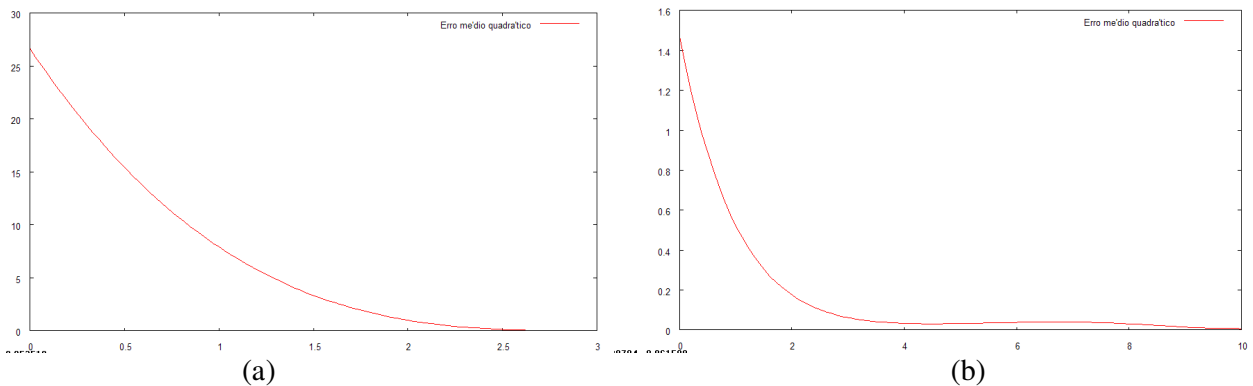


Figura 5 – Erro médio quadrático versus número de ciclos "construção-busca local" do EC-GRASP para a (a) função 1 e (b) função 2.

Após o treinamento, as redes MLP foram validadas para um conjunto de validação formado por 500 amostras uniformemente distribuída no espaço de entrada. Nas Figuras 6(a) e 6(b) são apresentadas

as curvas originais confrontadas com a curva gerada pelas redes MLP treinadas com EC-GRASP para as funções 1 e 2, respectivamente.

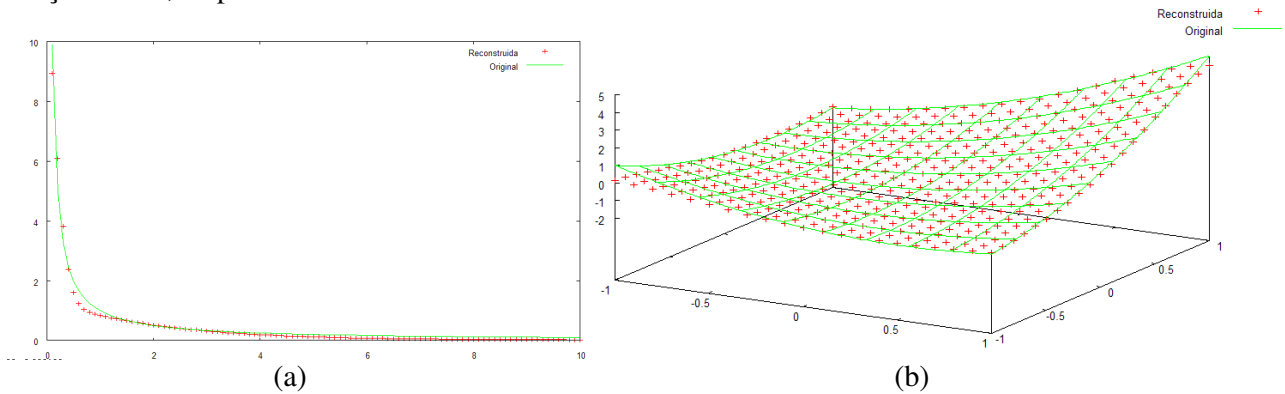


Figura 6 – Curva original versus curva reconstruída (a) da função 1 e (b) da função 2.

Dando continuidade aos experimentos computacionais, para as duas funções testadas, foi realizada uma comparação entre o esforço computacional exigido com o EC-GRASP e com o algoritmo da retropropagação do erro (*error backpropagation* - BP). Para isso, os dois algoritmos de treinamento foram aplicados nas duas redes MLP para 100, 1000 e 10000 épocas. Para uma comparação mais justa, utilizou-se o modo lote (*batch*) para o treinamento das redes MLP utilizando o algoritmo de retropropagação da rede. As Tabelas 2 e 3 apresentam os erros médios quadráticos na aplicação dos dois algoritmos de treinamento (EC-GRASP e BP) nas redes MLP utilizadas para aproximar as funções 1 e 2, respectivamente.

Tabela 2 – Erros médios quadráticos da rede MLP utilizada para aproximar a função 1

Algoritmo de treinamento	Número de épocas		
	100	1000	10000
EC-GRASP	0.048240	0.037096	0.019812
BP	0.000524	0.000016	0.000008

Tabela 3 – Erros médios quadráticos da rede MLP utilizada para aproximar a função 1

Algoritmo de treinamento	Número de épocas		
	100	1000	10000
EC-GRASP	0.678431	0.039308	0.038259
BP	0.000599	0.000035	0.000005

5. Conclusões

Nesse artigo, propomos a utilização da metaheurística EC-GRASP para o treinamento de uma rede perceptron de múltiplas camadas (MLP). Para validar o método proposto, foram treinadas duas redes MLP para aproximar duas funções não-lineares. Os resultados computacionais mostraram que as redes MLPs treinadas pelo EC-GRASP obtiveram um baixo erro médio quadrático para as funções testadas utilizando poucos ciclos de construção-busca local do EC-GRASP. Além disso, apesar de apresentar um desempenho inferior ao algoritmo de retropropagação do erro, para as funções testadas, o EC-GRASP obteve em todos os testes, um erro médio quadrático próximo de zero.

Referências:

- [1] S. Haykin, **Redes Neurais: Princípios e prática**, Bookman, 2. ed., 2001.
- [2] P. Werbos, **The Roots of the Backpropagation: From Ordered Derivatives to Neural Networks and Political Forecasting**, Wiley, 1993.
- [3] M. N. H. Siddique, M. O. Tokhi, Training neural networks: backpropagation vs. genetic algorithms, **Proceedings of International Joint Conference on Neural Networks**, 4(2001), 2673-2678.

- [4] A. C. M. L. Albuquerque, J. D. de Melo, A. D. D. Neto, Algoritmos Genéticos e Processamento Paralelo Aplicado ao Treinamento e Definição de Redes Neurais Perceptrons de Múltiplas Camadas, **Anais do XV Congresso Brasileiro de Automática**, 1(2004), 1-6.
- [5] R. Battiti, G. Tecchiolli, Training neural nets with the reactive tabu search, **IEEE Transactions on Neural Networks**, 6(1995), 1185-1200.
- [6] R. S. Sexton, J. N. D. Gupta, Comparative evaluation of genetic algorithm and backpropagation for training neural networks, **Information Sciences**, 129(2000), 45-59.
- [7] T. M. U. Araújo, L. A. F. Cabral, R. Q. Nascimento, Hibridizando a metaheurística C-GRASP com o método de busca por padrões adaptativos para resolução de problemas de otimização global contínua, **Anais do XV Simpósio de Engenharia de Produção**, XV SIMPEP, 1(2008).
- [8] T. M. U. Araújo, **Métodos híbridos baseados em Continuous-GRASP aplicados à otimização global contínua**, Master thesis, Universidade Federal da Paraíba, 2009.
- [9] T. A. Feo, M. G. C. Resende, Greedy randomized adaptive search procedures, **Journal of Global Optimization**, 6(1995), 109-133.
- [10] M. J. Hirsch *et al.*, Global optimization by continuous GRASP, **Optimization Letters**, 1(2007), 201-212.
- [11] M. J. Hirsch *et al.*, A continuous GRASP to determine the relationship between drugs and adverse reactions, **AIP Conference Proceedings**, 1(2008), 106-121.
- [12] A. R. Hedar, M. Fukushima, Tabu search directed by direct search methods for nonlinear global optimization, **European Journal of Operational Research**, 170(2006), 320-349.
- [13] T. H. Cormen *et al.*, **Algoritmos: Teoria e Prática**, Editora Campus, 2. ed, 2002.